

بررسی آزمایشگاهی و عددی اثر جایگزینی خاموت‌های دست‌ساز ساخته شده از الیاف FRP به جای خاموت‌های فلزی در تیرهای بتن مسلح*

محمد کاظم شربتدار^(۱) احمد دالوند^(۲) ابوذر حمزه نژادی^(۳)

چکیده در بسیاری از سازه‌های امروزی به خصوص در سازه‌هایی که در سواحل دریا ساخته می‌شوند، بحث خوردگی آرماتورها و کاهش ظرفیت سازه برای تحمل بارهای تقلیلی و جانبی یک موضوع جدی می‌باشد. استفاده از الیاف پلیمری FRP تا حدودی می‌تواند این مشکل را مرتفع سازد. در مقاله‌ی حاضر یک تحقیق آزمایشگاهی و عددی بر روی اثر جایگزینی خاموت‌های ساخته شده از الیاف FRP به جای خاموت‌های فلزی تحت بارگذاری استاتیکی صورت گرفته است. به همین منظور سه نمونه تیر بتنی ساخته و تحت بارگذاری تک نقطه‌ای در وسط دهانه آزمایش گردید. از سه نمونه تیر یک تیر به عنوان مرجع دارای خاموت فلزی و دو تیر دیگر دارای خاموت ساخته شده از الیاف FRP در محل کارگاه بودند. آرماتورهای طولی همه نمونه‌ها فلزی بودند. ضمناً دو تیر آزمایشگاهی دارای خاموت فلزی و FRP به وسیله‌ی نرم‌افزار المان محدود ANSYS مدل‌سازی گردید و پس از اعتبارسنجی، دو گروه تیر بتنی دیگر نیز مدل‌سازی و تحلیل شد. نتایج حاصل نشان دادند که خاموت‌های FRP دارای عملکرد ظرفیت برتری مناسبی در مقایسه با خاموت‌های فلزی بودند و در مواردی کرزش نهایی خاموت‌های ساخته شده از FRP تا ۸٪ درصد نیز رسید که دو برابر مقادیر پیشنهادی آین نامه‌ها برای طراحی این گونه سازه‌های بتنی با الیاف کامپوزیت می‌باشد.

واژه‌های کلیدی خوردگی، تیر بتن مسلح، خاموت FRP، المان محدود، عملکرد برتری.

Experimental and Numerical Investigation of Replacing Steel Stirrups with FRP Reinforcement in Concrete Beams

M.K.Sharbafdar A.Dalvand A.Hamzenezhadi

Abstract Today, corrosion in reinforcements is an important issue in many structures, especially those made in off-shore, resulting of reduction of the structural capacity under gravitational and lateral loads. Using FRP polymer can reduce this effect to some extents. A numerical and experimental investigation has been conducted on three different concrete beams to find out the effect of replacing steel stirrups with FRP ones under static loading. So, three beams were tested under concentrated loading on the middle of the span. One of the three beams, as the reference had steel stirrups, while the other two contained in-place FRP made stirrups. Longitudinal steel reinforcements were used in all three specimens. Also, two different beams with steel and FRP stirrups were analyzed by finite element method in ANSYS. After calibration, two other groups of concrete beams were modeled and analyzed. The results demonstrated that FRP stirrups had the better shear capacity performance compared to steel stirrups and the final strain in FRP stirrups reached %0.8 which is two times of the value suggested by design code provisions.

key Words Structural Capacity, FRP Polymer, Experimental Investigation, Steel Stirrups, FRP Made Stirrups, Concrete Beams, Shear Capacity

★ تاریخ دریافت مقاله ۹۰/۱۱/۹ و تاریخ پذیرش آن ۹۱/۱۲/۲۷ می‌باشد.

(۱) نویسنده‌ی مسؤول، دانشیار، دانشکده مهندسی عمران، دانشگاه سمنان.

(۲) دانشجوی دکترا، مهندسی سازه، دانشگاه سمنان.

(۳) کارشناس ارشد، مهندسی سازه، دانشگاه سمنان.

می باشدند. فریرا و همکاران [9] در سال ۲۰۰۱ مدل ارائه شده برای تئوری تغییر شکل برشی تیرها را با استفاده از نتایج آزمایشگاهی بر روی تیرهای بتنی دارای آرماتورهای FRP اعتبارسنجی نمودند. چینگ و همکاران [10] در سال ۲۰۰۶ تحقیقاتی را بر روی ستون‌های مسلح به میلگردهای ساخته شده از الیاف FRP انجام دادند. مطابق مطالعات آن‌ها مشخص گردید که روابط آبین‌نامه‌ای برای پیش‌بینی ظرفیت این نوع ستون‌ها مناسب نمی‌باشدند و برای این ستون‌ها رابطه‌ای ارائه دادند. رفی و همکاران [11] در سال ۲۰۰۸ رفتار تیرهای بتنی مسلح به میلگرد FRP را در خمث با استفاده از داده‌های آزمایشگاهی و عددی بررسی نمودند. بارسیا و همکاران [12] در سال ۲۰۱۰ تحقیقاتی در زمینه‌ی تأثیر استفاده از میلگردهای ساخته شده از الیاف GFRP در رفتار خمثی تیرهای بتنی انجام دادند. در این تحقیق مقایسه‌ای بین نتایج حاصل از آزمایشگاه و نتایج تئوری موجود صورت گرفته است. مطابق نتایج، مدل‌های تئوری موجود به خوبی رفتار این تیرهای دارای میلگردهای GFRP را پیش‌بینی می‌کنند. یکی از مشکلات استفاده از آرماتور طولی فلزی به همراه خاموت‌های شبکه‌ای قیمت بالا و در دسترس نبودن شبکه‌های FRP و هم‌چنین عدم صرفه‌ی اقتصادی در پرروزه‌های کوچک می‌باشد. استفاده از خاموت‌های ارائه شده در این مقاله علاوه بر ارزان‌تر بودن نسبت به انواع کارخانه‌های دارای راحتی نصب و اجرا و انطباق با هر نوع چینش آرماتورهای طولی اعم از مثلثی و مستطیلی و دایره‌ای می‌باشد. در این مقاله سه تیر بتنی با استفاده از خاموت‌های FRP و آرماتور طولی فلزی ساخته و تست گردید. یک نمونه به عنوان مرجع دارای خاموت فلزی و دو نمونه‌ی دیگر یکی دارای خاموت FRP قائم و دیگری سورب می‌باشد. در ادامه نمودارهای بار-تغییر مکان و هم‌چنین منحنی ممان-انحنای و بار-کرنش خاموت‌های

مقدمه

یک سازه بتن‌آرمهی معمولی که به میلگردهای فولادی مسلح است، چنان‌چه در زمان طولانی در مجاورت عوامل خورنده نظیر نمک‌ها، اسیدها و کلرورها قرار گیرد، به دلیل خوردگی آرماتورها و خاموت‌های فلزی قسمتی از مقاومت خود را از دست خواهد داد. امروزه در مناطق دارای خاک خورنده به منظور کاهش اثرات مضر مواد خورنده بر سازه‌های بتنی از روش‌هایی نظری کاهش نفوذپذیری بتن و عایق‌کاری سطح بتن استفاده می‌شود. روش‌های ذکر شده به‌تهاهایی قادر به تأمین سلامت و دوام بتن نمی‌باشند. یک روش مناسب برای جلوگیری از کاهش مقاومت سازه استفاده از میلگردهای FRP می‌باشد. استفاده از میلگردهای ساخته شده از الیاف FRP در اشکال میلگرد طولی و خاموت به منظور استفاده در پل‌ها و ساختمان‌ها رو به افزایش می‌باشد [1-5]. هم‌چنین چندین آبین‌نامه‌ی طراحی به‌همین منظور ارائه گردیده است [6-9]. عامل مؤثر در انجام این تحقیقات عملکرد خوب الیاف FRP در محیط‌های خورنده می‌باشد [9, 6]. استفاده از آرماتورهای طولی از جنس FRP به دلیل قیمت بالا در پروژه‌های کوچک چندان مقرر نبوده. از طرفی میلگردهای طولی نسبت به خاموت‌ها از قطر بالاتری برخوردار می‌باشند و در ضمن از محیط خورنده نیز فاصله‌ی بیشتری دارند. اثرات خوردگی بر آرماتورهای طولی به دلایل فوق به مراتب کم‌تر از خاموت‌ها می‌باشد. امروزه گرچه خاموت‌های پیش‌ساخته در بعضی کشورهای اروپایی تولید می‌شود ولی به دلیل عدم تولید در داخل کشور و هم‌چنین پیچیدگی فرآیند تولید آن‌ها، دارای قیمت بالایی در ایران می‌باشند. استفاده از خاموت‌های ارائه شده در این مقاله علاوه بر ارزان‌تر بودن نسبت به انواع کارخانه‌ای دارای راحتی نصب و اجرا و انطباق با هر نوع چینش آرماتورهای طولی اعم از مثلثی و مستطیلی و دایره‌ای

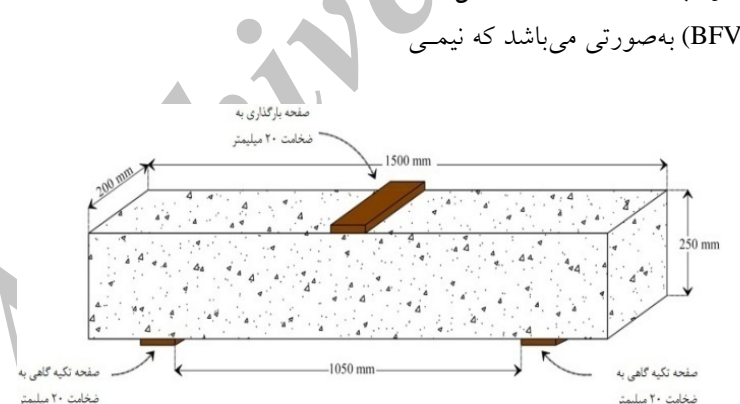
از آن دارای خاموت FRP قائم و نیمه‌ی دیگر آن به منظور عدم رخ دادن شکست در آن، به وسیله‌ی خاموت‌گذاری فشرده‌ی فلزی تقویت گردید. در کلیه‌ی نمونه‌ها از ۳φ18 به عنوان آرماتور طولی کششی به مساحت 157mm^2 و از ۲φ10 به مساحت 763mm^2 می‌لی متراً مربع به عنوان آرماتور طولی فشاری استفاده گردید. در نمونه‌ی مرجع (BSV) از خاموت‌های φ6 با مساحت $28/27\text{mm}^2$ با فاصله ۱۵۰mm استفاده شد. نمونه‌ی (BFV) در نیمه‌ی تقویت شده دارای خاموت φ6 با فاصله‌ی ۵۰mm و در نیمه‌ی دوم دارای خاموت FRP با سطح مقطع 6mm^2 مربع با فاصله‌ی ۱۱۵mm می‌باشد. نمونه‌ی (BFI) دارای خاموت‌های مورب FRP با زاویه‌ی ۷۰ درجه نسبت به افق با فاصله‌ی ۸۵mm در سرتاسر طول تیر می‌باشد. بتن به کار رفته در کلیه‌ی نمونه‌ها و هم‌چنین آرماتور‌گذاری طولی آن‌ها کاملاً یکسان می‌باشد. در جدول (۱) مشخصات خاموت‌گذاری و تعداد آرماتورهای طولی نمونه تیرها نشان داده شده است.

FRP و فلزی رسم گردید. در ادامه مدل المان محدود به وسیله‌ی مدل آزمایشگاهی اعتبارسنجی گردید. هم‌چنین چندین مدل المان محدود دارای خاموت‌های FRP توسط نرم‌افزار Ansys ساخته شد.

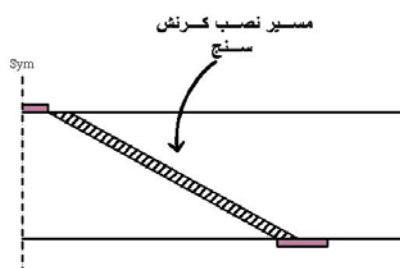
برنامه‌ی آزمایشگاهی

خصوصیات نمونه‌های آزمایش شده

به منظور بررسی رفتار خاموت‌ها سه نمونه تیر ساخته شد. تیرها دارای ارتفاع 250mm و عرض 200mm و طول دهانه‌ی خالص 1050mm بودند که به منظور تأمین طول گیرایی آرماتورهای خمشی از هر طرف به میزان 225mm امتداد داده شدند. ابعاد و شرایط تکیه‌گاهی تیرها و هم‌چنین مسیر نصب کرنش سنج‌ها در شکل (۱) نشان داده شده است. از سه تیر ساخته شده یک تیر دارای خاموت فلزی و به عنوان نمونه مرجع (BSV) در شکل (۲-الف) و تیر دوم دارای خاموت قائم FRP (BFI) در شکل (۲-ب) و نمونه مسوم دارای خاموت مورب FRP (BFI) در شکل (۲-ج) می‌باشد. نمونه (BFV) به صورتی می‌باشد که نیمی

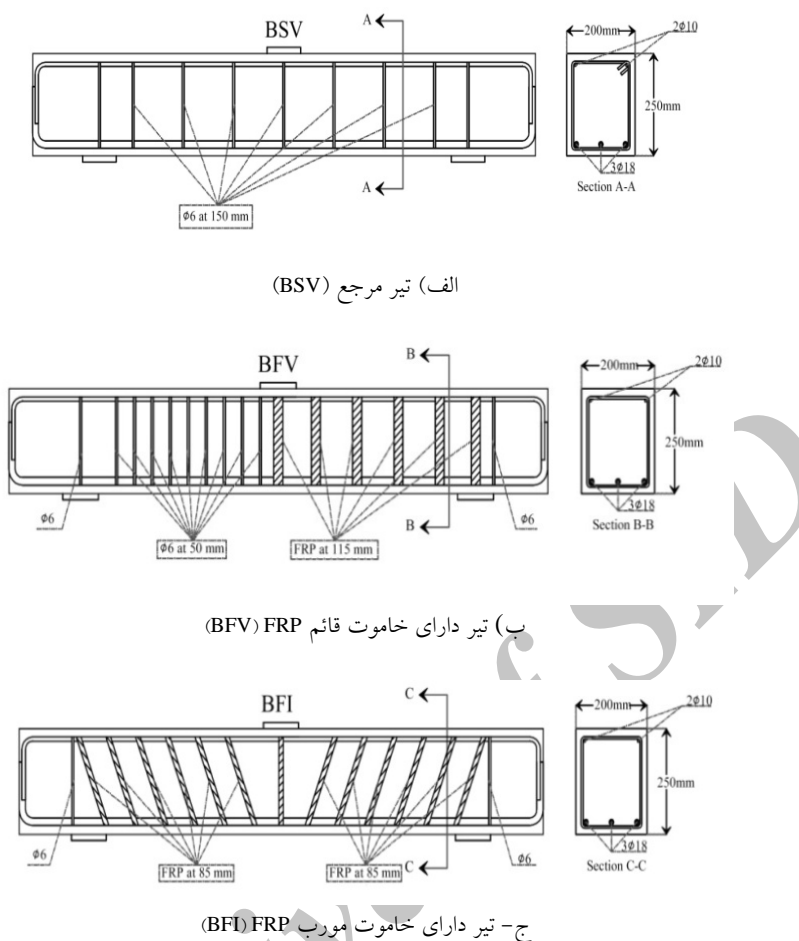


الف) ابعاد و شرایط تکیه‌گاهی



ب) مسیر نصب کرنش سنچ‌ها

شکل ۱ ابعاد و شرایط تکیه‌گاهی تیرها و مسیر نصب کرنش سنچ‌ها



شکل ۲ آرماتوربندی و خاموت‌گذاری نمونه‌های آزمایشگاهی

جدول ۱ فواصل خاموت‌ها و آرماتور‌گذاری طولی نمونه‌های آزمایشگاهی

نمونه	میلگردهای کششی و فشاری طولی	سطح مقطع خاموت‌ها (mm ²)	فاصله‌ی خاموت‌ها (mm)	زاویه‌ی خاموت نسبت به محور طولی تیر (deg)
BSV	3φ18 & 2φ10	۲۸/۳ - فلزی	۱۵۰	۹۰
BFV	3φ18 & 2φ10	FRP-۶	۱۱۵	۹۰
BFI	3φ18 & 2φ10	FRP -۳	۸۵	۷۰

مقاومت تسلیم و مقاومت نهایی میلگردهای مصروفی برای نمونه‌های آزمایشگاهی نشان داده شده است. آرماتورهای طولی کششی دارای مقاومت تسلیم ۴۸۰ MPa و مقاومت نهایی ۵۱۰ MPa و آرماتورهای طولی فشاری دارای مقاومت تسلیم ۳۳۰ MPa و مقاومت نهایی ۳۶۰ MPa می‌باشند. خاموت‌های فلزی

خصوصیات مصالح

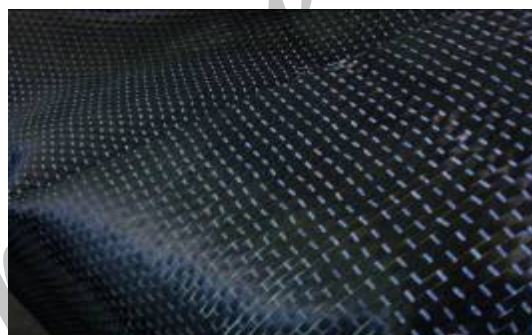
مقاومت ۷ روزه‌ی استوانه‌ای استاندارد بتن تیرها برابر ۳۳ MPa و مقاومت ۲۸ روزه آن ۳۸ MPa محاسبه گردید. برای بتن ریزی تیرها از سیمان پرتلند تیپ II استفاده شد. در نمونه‌های آزمایشگاهی از سنگدانه‌هایی با حداکثر بعد ۱۰ mm استفاده گردید. در جدول (۲)

به صورت صفحه بودند که بعد از محاسبه سطح مقطع مورد نیاز با توجه به ضخامت 11 mm این الیاف از قطعه‌ی اصلی بریده شدند. با استفاده از رزین، نوارهای بریده شده از قطعه‌ی اصلی آغشته شد. نوارهای بریده شده که به رزین آغشته شده بودند در محلهای مشخص شده بر روی آرماتور طولی نصب گردیدند. نوارهای بریده شده از صفحه‌ی اصلی، به گونه‌ای بریده شدند تا هر نوار یک دور کامل با لایه‌ی زیرین خود هم‌پوشانی داشته باشد.

استفاده شده در نمونه‌ی (BSV) دارای مقاومت تسلیم 260 MPa و مقاومت نهایی 290 MPa بودند. الیاف FRP به کاررفته برای ساخت خاموت‌ها از نوع الیاف CFRP و به صورت صفحه بافته شده بودند. خاموت ساخته شده از الیاف FRP به منظور استفاده در نمونه‌های (BFV) و (BFI) به صورت درجا در محل ساخته شدند. نمونه‌ای از این الیاف در شکل (۳) نشان داده شده است. مشخصات مکانیکی الیاف توسط شرکت سازنده در جدول (۳) ارائه شده است. این الیاف

جدول ۲ مقاومت تسلیم و نهایی میگردهای فلزی استفاده شده

قطر میلگرد (mm)	استفاده به عنوان	مقاومت تسلیم (MPa)	مقاومت نهایی (MPa)
۱۸	آرماتور طولی کششی	۴۸۰	۵۱۰
۱۰	آرماتور طولی فشاری	۳۳۰	۳۶۰
۶	خاموت	۲۶۰	۲۹۰



الف) صفحات الیاف FRP



ب) الیاف FRP بریده شده برای خاموت تیرها

شکل ۳ نمونه الیاف کربنی برای ساخت خاموت تیرها

جدول ۳ خصوصیات صفحات الیاف کربنی CFRP به کار برده شده

نام محصول	نوع الیاف	مقاومت کششی (MPa)	مدول ارتجاعی (GPa)	کرنش نهایی (%)	ضخامت هر لایه از الیاف (mm)
YC-N200	کربن مقاومت بالا	۳۵۵۰	۲۳۵	۱/۵	۰/۱۱

به وسیله‌ی خاموت‌های فلزی و V_f نیروی برشی تحمل شده به وسیله‌ی خاموت‌های FRP و هم‌چنین ϵ_f کرنش مجاز آیین‌نامه‌ای خاموت‌های FRP مطابق رابطه‌ی (۴) می‌باشد. با جای‌گذاری مقادیر از آیین‌نامه در رابطه‌ی (۵)، رابطه‌ی (۶) حاصل می‌شود که سطح مقطع خاموت‌های FRP معادل را نشان می‌دهد.

$$\epsilon_f = 0.004E_f \quad (4)$$

$$\frac{A_{sv}f_{ys}d_s}{S_s}(\sin \alpha_s + \cos \alpha_s) \\ = \frac{A_{vf}(0.004E_f) d_f}{S_f} (\sin \alpha_f + \cos \alpha_f) \quad (5)$$

$$A_{vf} = \left[250 \times \frac{A_{sv}f_{ys}}{S_s E_f} \times \frac{d_s}{d_f} \times \left(\frac{\sin \alpha_s + \cos \alpha_s}{\sin \alpha_f + \cos \alpha_f} \right) \right] \times S_f \quad (6)$$

در روابط فوق A_{sv} و A_{fv} به ترتیب مجموع مساحت ساق‌های خاموت فلزی و خاموت FRP بر حسب f_{ys} , mm^2 مقاومت تسلیم خاموت‌های فلزی بر حسب E_f , MPa مدول الاستیستیته الیاف FRP بر حسب GPa , S_f و S_s به ترتیب فواصل خاموت‌های فلزی و خاموت‌های FRP از یکدیگر بر حسب mm , d_s و d_f به ترتیب عمق مؤثر مقطع دارای خاموت فلزی و خاموت FRP بر حسب α_s , mm و α_f به ترتیب زاویه‌ی خاموت‌های فلزی و خاموت‌های FRP نسبت به محور افقی تیر می‌باشد. مساحت خاموت‌های فلزی و FRP به کار رفته در نمونه‌های تیر و هم‌چنین فواصل آن‌ها در جدول (۴) قابل ملاحظه می‌باشد.

طراحی خاموت‌ها

در طراحی تیرها فرض شده است که حداقل ظرفیت برشی تیرهای دارای خاموت FRP (تیرهای BFV و BFI) با حداقل ظرفیت برشی نمونه‌ی مرجع (تیر BSV) که دارای خاموت فلزی است برابر باشد. آرماتورهای خمثی تیرها به گونه‌ای طراحی گردیده است که انهدام خمثی در تیر رخ ندهد. به منظور طراحی تیر از آیین‌نامه‌ی ACI استفاده گردید به طوری که ظرفیت برشی یک مقطع بتی که دارای بتن معمولی می‌باشد برابر حاصل جمع مقاومت برشی بتن و خاموت فولادی می‌باشد. مقاومت برشی بتن برای بتن معمولی مطابق با آیین‌نامه‌ی ACI از رابطه‌ی زیر محاسبه می‌گردد.

$$V_c = 2\sqrt{f_c} b_w d \quad (1)$$

در رابطه‌ی فوق b_w و d به ترتیب عرض و ارتفاع مؤثر مقطع بر حسب mm و f_c مقاومت فشاری بتن بر حسب MPa می‌باشد. بدلیل بتن یکسان، همه‌ی تیرها دارای V_c یکسانی می‌باشند. به منظور طراحی خاموت‌های FRP و تعیین فواصل بین آن‌ها مطابق روابط ارائه شده در آیین‌نامه‌ی ACI-440-1R [2] و روابط آیین‌نامه‌ی ACI-318-05 [3] برش تحمل شده توسط خاموت‌های تیر (BSV) با برش تحمل شده به وسیله خاموت‌های FRP در تیرهای (BFV) و (BFI) برابر می‌باشد. به همین علت مطابق زیر باید:

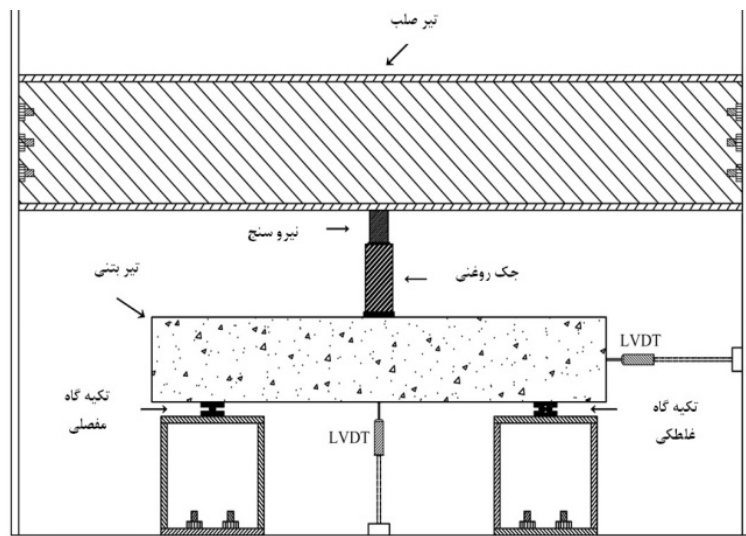
$$V_s = \frac{A_{sv}f_{ys}d_s}{S_s}(\sin \alpha_s + \cos \alpha_s) \quad (2)$$

$$V_f = \frac{A_{vf}(\epsilon_f) d_f}{S_f} (\sin \alpha_f + \cos \alpha_f) \quad (3)$$

در رابطه‌ی فوق V نیروی برشی تحمل شده

جدول ۴ فواصل و سطح مقطع خاموت‌ها

نمونه BSV			نمونه BFV			نمونه BFI		
α_s (deg)	S_s (mm)	$\frac{A_{fv}}{S_v}$ (mm)	α_f	S_f	$\frac{A_{fv}}{S_v}$	α_f	S_f	$\frac{A_{fv}}{S_v}$
۹۰	۱۵۰	۰/۳۷۷	۹۰	۱۱۵	۰/۱۰۴	۶۰	۸۵	۰/۰۷۰۶



شکل ۴ نمای سیستم آزمایشگاهی نمونه تیرها

اندازه گیری تغییر مکان و سطح دهانه تیر و یک LVDT دیگر برای تعیین جایه جایی افقی تیر استفاده گردید. در شکل (۴) نمای کلی سیستم آزمایش نشان داده شده است.

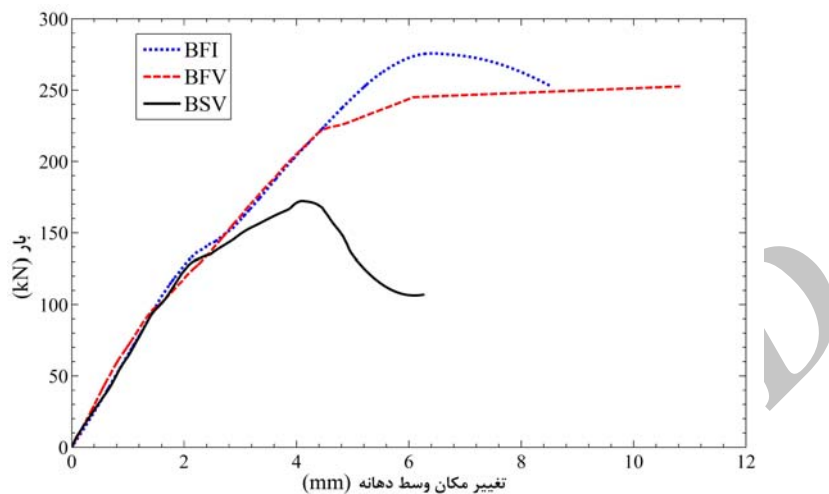
بررسی مشاهدات و نتایج اولیه آزمایش‌ها
نمودار بار - تغییر مکان تیرها در شکل (۵) نشان داده شده است. اولین ترک در تیر (BSV) با رسیدن به بار ۰/۶۵mm ۴۵kN ایجاد شد و مقدار خیز تیر در این بار بود. این وضعیت در شکل (۶-الف) نشان داده شده است. با ادامه‌ی بارگذاری نمونه تا ۷۰kN ۱۱۰ اولین ترک های برشی در تیر ایجاد شد و همچنین بر تعداد ترک‌های خمی در زیر بار متتمرکز نیز اضافه شد که در شکل

سیستم آزمایش

بعد از آماده کردن مقدماتی نمونه‌ها، کرنش سنج‌های در وسط آرماتورهای طولی بالا و پایین و همچنین خاموت‌هایی که بین خط و اصل مرکز تکیه‌گاه و مرکز بارگذاری بودند نصب گردیدند به‌گونه‌ای که در مسیر ترک باشند و سپس نمونه‌ها درون قالب قرار داده شدند. ضمناً دو عدد کرنش سنج در طرفین تیر و در زیر صفحه‌ی بارگذاری استفاده شد تا کرنش فشاری بتن ثبت گردد. تیرها با شرایط تکیه‌گاهی دو سر ساده تحت بارگذاری تک نقطه‌ای در وسط دهانه قرار داده شدند. به‌منظور اعمال بارگذاری از یک جک ۵۰۰ kN و یک نیرو سنج به ظرفیت ۱۰۰kN استفاده گردید. به‌منظور جلوگیری از خرد شدن بتن زیر جک یک صفحه‌ی فولادی با عرض ۱۰۰mm و ضخامت ۲۰mm در زیر جک قرار داده شد. از یک عدد LVDT به‌منظور

همچنین تغییر مکان نهایی تیر با در نظر گرفتن کاهش ۲۰ تا ۱۵ درصدی در مقدار بار نهایی، $6/25\text{mm}$ بود.

۶-ب) نشان داده شده است. رفتار تیر تا رسیدن به بار 130kN تقریباً خطی بود. بار ماکزیمم این تیر 172kN بود و مقدار خیز تیر در این تغییر مکان $4/13\text{mm}$ بود.



شکل ۵ نمودار بار- تغییر مکان تیرها



الف) اولین ترک در محل ممان حداقل در نمونه‌ی (BSV)



ب) اولین ترک برشی در بار 110kN در نمونه‌ی (BSV)

شکل ۶ منحنی بار - تغییر مکان و ایجاد ترک در تیرها

در نمونه سوم نیز باری که در آن اولین ترک خمثی در زیر تیر مشاهده شد، مشابه دو نمونه (BSV) و (BFV) ۴۵ kN و خیز متناظر با آن ۰/۶۸ mm بود که این وضعیت در شکل (الف) قابل ملاحظه می‌باشد. تا بار ۶۰ kN ترک‌های تشکیل شده در تیر عمدتاً خمثی بودند. روند تشکیل ترک‌های خمثی در میانه تیر ادامه داشت تا این که با رسیدن بار به ۱۰۵ kN ترک‌های برشی اولیه مطابق شکل (ب) در تیر تشکیل گردید. در ادامه با افزایش بار وارد، طول و عرض ترک‌های برشی بیشتر شد به نحوی که شکل گسیختگی تیر مشهود بود. با رسیدن تیر به بار ۲۵۲/۶ kN تیر گسیخته شد. و مقدار خیز تیر در تغییر مکان نهایی ۶/۸ mm بود. در این تیر مطابق نمودار بار-تغییر مکان، افت بار چندانی ملاحظه نمی‌گردد. شکل خرابی کلیه‌ی تیرها از نوع شکست برشی می‌باشد. تا لحظه‌ی گسیختگی، تیرها رفتار برشی از خود نشان دادند و ترک‌های برشی آن‌ها به تدریج از تکیه‌گاه شروع شد و به محل بار متتمرکز رسید.



(الف) اولین ترک در محل ممان حداقل در نمونه (BFI)



(ب) اولین ترک برشی در بار ۱۰۵ kN در نمونه (BFI)

شکل ۸ ترک‌ها در تیر (BFI)

تیر دارای خاموت FRP قائم (BFV) مشابه نمونه مرجع (BSF) در نیروی ۴۵kN نخستین ترک در تیر به صورت خمثی و در وسط دهانه در محل ممان خمثی ماکریم ایجاد گردید که این وضعیت در شکل (الف) نشان داده شده است. خیز متناظر با بار ترک خوردگی تیر ۰/۷۱mm بود. با ادامه‌ی بارگذاری نمونه تا ۸۶kN ترک‌های بعدی نیز در زیر بار متتمرکز به صورت خمثی به وجود آمدند. با رسیدن بار وارد تا حدود ۱۲۰kN اولین ترک برشی در تیر ایجاد شد و هم‌چنان بر تعداد ترک‌های خمثی در زیر بار متتمرکز نیز اضافه شد که این وضعیت در شکل (ب) نشان داده شده است. افزایش بار وارد تا ۱۷۷ kN باعث افزایش طول و عرض ترک‌های برشی قبلی در نزدیکی تکیه‌گاه‌ها شد به طوری که ترک‌ها تقریباً به هم متصل شدند و مسیر گسیختگی نمونه کاملاً مشخص شد و در نهایت تیر در بار ۲۷۵/۷۳ kN منهدم شد. افت باربری در این نمونه مشابه نمونه (BSV) قابل مشاهده می‌باشد.



(الف) اولین ترک در محل ممان حداقل در نمونه (BFV)



(ب) اولین ترک برشی در بار ۱۲۰ kN در نمونه (BFV)

شکل ۷ ترک‌ها در تیر (BFV)

است، قرار داشته‌اند. خاموت‌های نمونه‌ی (BSV) فلزی و دو نمونه‌ی دیگر FRP می‌باشند. مکان کرنش سنج‌ها در مسیر گسیختگی برشی واقع شده بود. حداکثر کرنش در خاموت‌های اول نزدیک به تکیه‌گاه برای نمونه‌های (BSV) و (BFV) و (BFI) به ترتیب برابر $0/00252$ و $0/0015$ و $0/0045$ می‌باشد و این مقادیر برای خاموت دوم مطابق شکل (11) به ترتیب برابر $0/0061$ و $0/0059$ و $0/0047$ می‌باشد. با توجه به ثابت بودن برش در دهانه‌های برشی، کرنش‌های ماکزیمم خاموت‌ها، نزدیک به محل گسیختگی نمونه دیده می‌شود. کرنش خاموت اول در نمونه‌های (BFV) و (BSV) نسبت به کرنش خاموت دوم به ترتیب 58 و 74 درصد کمتر می‌باشد. و در نمونه‌ی (BFI) کرنش خاموت اول از کرنش خاموت دوم 44 درصد بیشتر می‌باشد.

موقعیت ترک‌های اصلی نمونه‌ها، بعد از گسیختگی در شکل (9) نشان داده شده‌اند. زاویه‌ی ترک‌هایی که موجب انهدام نمونه‌ها شد، نسبت به محور طولی تیر در کلیه‌ی نمونه‌ها (مطابق انچه که در شکل (9) نشان داده شده است) تقریباً 36 درجه بود. هم‌چنین بتن فشاری خرد شد. منحنی نیرو - کرنش بتن فشاری در شکل (10) نشان داده شده است. مطابق این منحنی حداکثر کرنش بتن فشاری در نمونه‌ها (BSV) و (BFV) به ترتیب به $0/00264$ و $0/00375$ و $0/00292$ رسید که طبق این منحنی نمونه‌ی (BFI) دارای بیشترین کرنش فشاری بتن به مقدار 42 درصد بیش از نمونه‌ی (BSV) و به مقدار 28 درصد بیش از نمونه‌ی (BFV) می‌باشد. نمودار برش - کرنش خاموت‌های اول و دوم تیرها در شکل (11) نشان داده شده است. این خاموت‌ها در نیمه‌ای که شکست برشی در آن رخ داده



ب) نمونه (BFV)

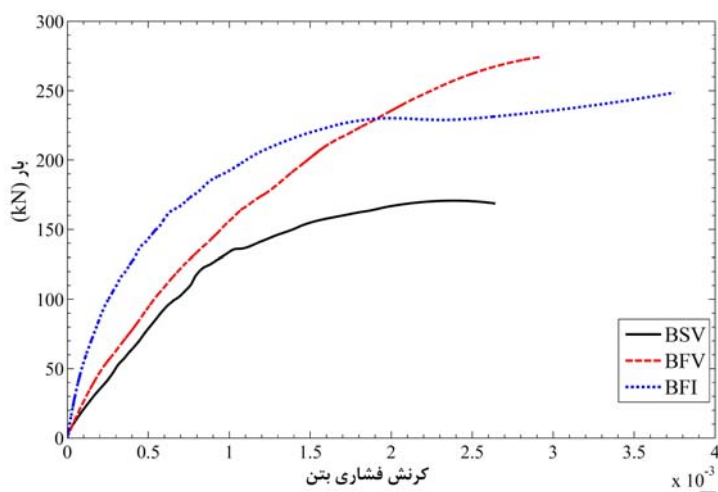


الف) نمونه مرجع (BSV)

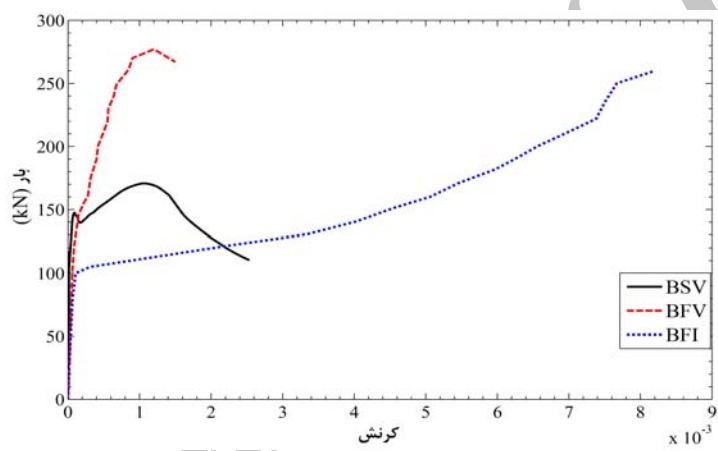


ج) نمونه (BFI)

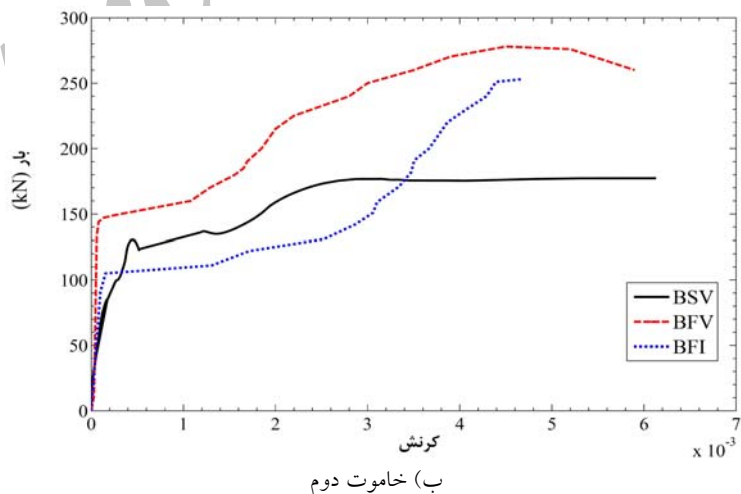
شکل ۹ انهدام نمونه‌های آزمایشگاهی



شکل ۱۰ منحنی رفتاری بتن ناحیه‌ی فشاری تیرها



الف) خاموت اول



ب) خاموت دوم

شکل ۱۱ منحنی نیرو - کرنش خاموت اول و دوم نمونه‌های تیر

می باشد. سه نمونه تیر برای یک بار واحد بر اساس روابط آییننامه‌ی ACI-318 [3] و ACI-440 [3] طراحی شدند. ملاحظه می‌گردد که تیرهای (BFV) و (BFI) که در آن از خاموت FRP به جای خاموت فلزی استفاده شده است، دارای ظرفیت برشی بالاتری نسبت به تیر(BSV) می‌باشند. علت اختلاف 23 kN در بار حداقل نمونه‌های (BFV) و (BFI) طراحی ظرفیت برشی خاموت‌ها با زاویه‌ی 60° درجه نسبت به افق و اجرای آن‌ها با زاویه‌ی 15° درجه می‌باشد. با توجه به منحنی‌های بار-تغییر مکان نمونه‌ها، هر سه نمودار تا بار حدود 130 kN رفتاری مشابه هم دارند. منحنی بار-تغییر مکان آن‌ها تا این بار برابر هم منطبق می‌باشد. در تیر (BSV) به دلیل استفاده از خاموت فلزی منحنی بار-تغییر مکان تا حدودی برگشت دارد ولی در دو تیر دیگر که دارای خاموت FRP هستند این منحنی برگشت کمتری از خود نشان می‌دهد. در جدول (۵) مشخصات حاصل از منحنی بار-تغییر مکان دو نمونه نشان داده شده است که Δ_{BSV} تغییر مکان متناظر با P_{BSV} می‌باشد در حالی که تغییر مکان بیشتری بعد از آن مشاهده شده است.

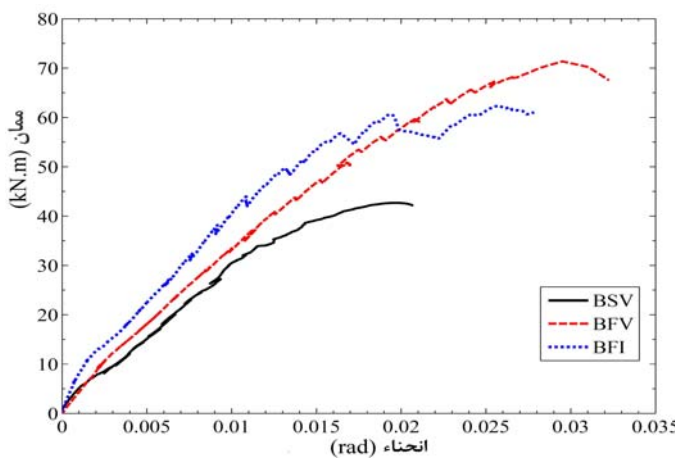
در جدول (۶) مقایسه‌ای بین نتایج آزمایشگاهی با نتایج تئوری حاصل از روابط آییننامه‌های ACI-440 [3] و ACI-318 [3] صورت گرفته است. مطابق این جدول نتایج آزمایشگاهی نمونه‌ی (BSV) دارای اختلاف کمی برابر $6/8$ درصد با نتایج آییننامه‌ای می‌باشد که به دلیل پارامترهایی است که در روابط آییننامه در نظر گرفته نشده‌اند و یا از آن‌ها صرف‌نظر شده است. تیرهای (BFV) و (BFI) به ترتیب دارای اختلاف $41/7$ و 37 درصدی با مقادیر آییننامه‌ای می‌باشند. علت وجود این اختلاف تحمل کرنش‌هایی بین $1/5$ تا 2 برابر مقدار حداقل مجاز آییننامه‌ای توسط خاموت‌های الیافی FRP ساخته شده می‌باشد که موجب افزایش سهم خاموت FRP در مقدار V_f و در نهایت افزایش قابل توجه در مقدار V_n واقعی می‌شود.

تجزیه و تحلیل نتایج نمونه‌های آزمایشگاهی
منحنی ممان-انحنای برای یک مقطع بتن مسلح ویژگی‌های خمی غیرخطی آن مقطع را به طور دقیق بیان می‌کند. در واقع این منحنی نشان می‌دهد که برای یک مقطع مشخص بتنی همراه با توزیع معین آرماتوربندی طولی، به ازای یک نیروی محوری خاص، مقطع در هر انحنای نسبت به وضعیت اولیه‌ی خود دارای چه ممانی خواهد بود. معادله‌ی تیر اویلر-برنولی مطابق رابطه‌ی (۵) قابل بیان است.

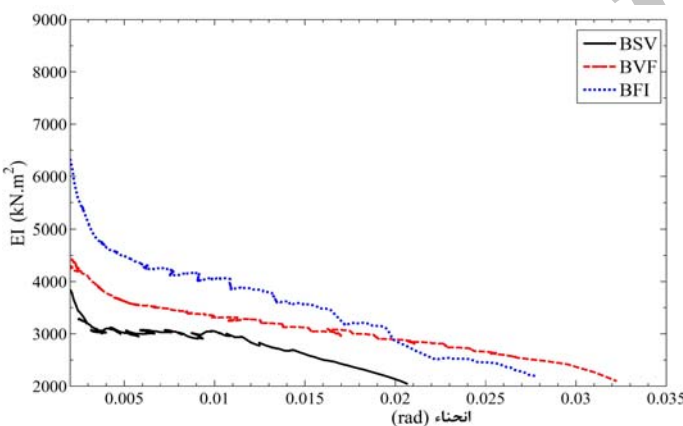
$$M = EI \frac{d^2 w}{dx^2} = EI \varphi \quad (5)$$

در رابطه‌ی فوق I ممان اینترسی مقطع مورد بررسی و w خیز تیر و φ انحنای مقطع می‌باشد. در صورتی که در هر مقطع از تیر مقدار ممان را بر φ تقسیم کنیم، مقدار EI متناظر با آن وضعیت انحنای به دست می‌آید. این مقدار EI نشان دهنده اثرات غیرخطی و ترک‌خوردگی بتن می‌باشد. به منحنی ممان-انحنای استفاده منظور به دست آوردن منحنی ممان انحنای مقطع وسط با استفاده از مقادیر کرنش ثبت شده در شکل (۱۲) منحنی ممان-انحنای مقطع وسط تیر نشان داده شده است. نمونه‌ی (BFV) دارای انحنای مقطع بزرگ‌تری نسبت به دو نمونه‌ی دیگر می‌باشد. حداقل زاویه‌ی انحنای برای نمونه‌ی (BFI)، $0/032$ رادیان می‌باشد که نسبت به نمونه‌های (BSV) و (BFI) به ترتیب 55 و 15 درصد بیشتر می‌باشد. با توجه به منحنی ممان-انحنای، منحنی تغییرات سختی EI بر حسب انحنای برای همین مقطع در شکل (۱۳) ترسیم شده است. مطابق با این منحنی نرخ کاهش سختی در نمونه‌ی (BFI) نسبت به سایر نمونه‌ها بیشتر می‌باشد و نمونه‌ی (BSV) کمترین شبکه کاهش سختی را دارد.

در کلیه‌ی نمونه‌ها، ترک برشی از تکیه‌گاه شروع شد و تا زیر محل اعمال بار ادامه داشت. ترک‌های برشی به صورت متقارن در دو طرف مقطع رخ داد. تقارن ترک‌ها به علت کم بودن ممان پیچشی در مقطع



شکل ۱۲ منحنی ممان- انحنای تیر



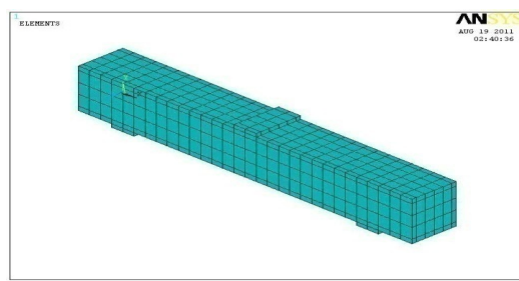
شکل ۱۳ منحنی تغییرات سختی سختی خمی- انحنای

جدول ۵ مشخصات حاصل از منحنی بار- تغییر مکان

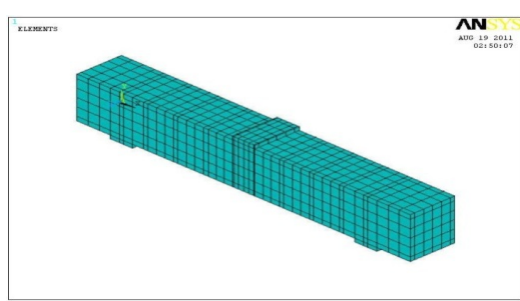
نمونه	P_{cr} (kN)	Δ_{cr} (mm)	P_u (kN)	Δ_u (mm)	درصد افزایش بار نهایی
BSV	۴۵	۰/۶۵	۱۷۲/۱۷	۴/۱۳	----
BFV	۴۵	۰/۷۱	۲۷۵/۷۳	۶/۷	۶۰%
BFI	۴۵	۰/۶۸	۲۵۲/۶	۶/۸	۴۷%

جدول ۶ مقایسه نتایج آزمایشگاهی و آینن نامه‌ای

نمونه	نتایج آینن نامه				نتایج آزمایشگاهی		درصد اختلاف
	V_C (kN)	V_S (kN)	V_F (kN)	$V_{n(TH)}$ (kN)	حداکثر کرنش خاموت (%)	$V_{n(EX)}$ (kN)	
BSV	۵۶/۷	۲۲/۵	----	۷۹/۲	(خاموت فلزی) ۰/۲۵	۸۶/۱	۷/۸
BFV	۵۶/۷	----	۲۱/۱۲	۸۰/۳۲	(FRP) خاموت ۰/۵۹	۱۳۷/۸	۴۱/۷
BFI	۵۶/۷	----	۲۰/۴	۷۹/۶	(FRP) خاموت ۰/۸۲	۱۲۶/۳	۳۷

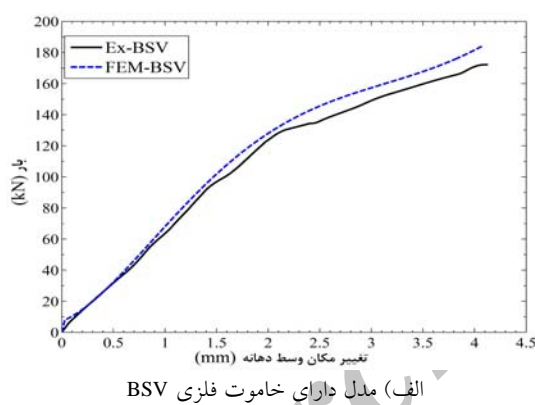


الف) نمونه BSV

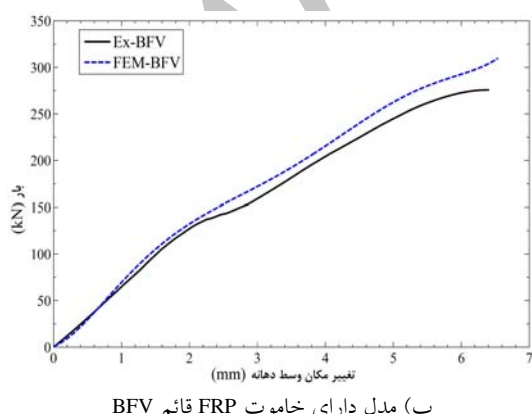


ب) نمونه BFV

شکل ۱۴ مدل اجزای محدود نمونه‌های آزمایشگاهی



الف) مدل دارای خاموت فلزی BSV



ب) مدل دارای خاموت FRP قائم BFV

شکل ۱۵ مقایسه نمودار بار-تغییر مکان مدل آزمایشگاهی و المان محدود

مدل‌سازی المان محدود

به منظور اعتبارسنجی نتایج حاصل از نرم‌افزار ANSYS، مدل المان محدود تیرهای (BSV) و (BFV) Solid65 ساخته شد. برای مدل‌سازی بتن از المان استفاده گردید [13]. این المان قابلیت مدل کردن ترک خوردگی در کشش و خردشگی در فشار را دارد. این المان ۸ گره‌ای دارای سه درجه آزادی در هر گره به صورت انتقالی در راستاهای X, Y و Z می‌باشد. برای مدل‌سازی میگردهای طولی و خاموت‌های فلزی از المان 8 Link استفاده شده است. المان 8 یک المان با سه درجه آزادی انتقالی در هر انتهای می‌باشد. این المان توانایی تحمل کشش و فشار را دارد ولی توانایی تحمل خمش را ندارد. برای مدل‌سازی صفحات تکیه‌گاهی و صفحه‌ی بارگذاری از المان 45 Solid استفاده شد. هم‌چنین به منظور مدل‌سازی خاموت‌های FRP از المان Shell43 استفاده شد. کنترل پارگی در خاموت‌های FRP از طریق کنترل کرنش، صورت گرفت. با استفاده از ابعاد مدل آزمایشگاهی، مدل اجزای محدود تیر بتی برای انجام آنالیز در Ansys به صورت شکل (۱۴) ساخته و مشدود شد.

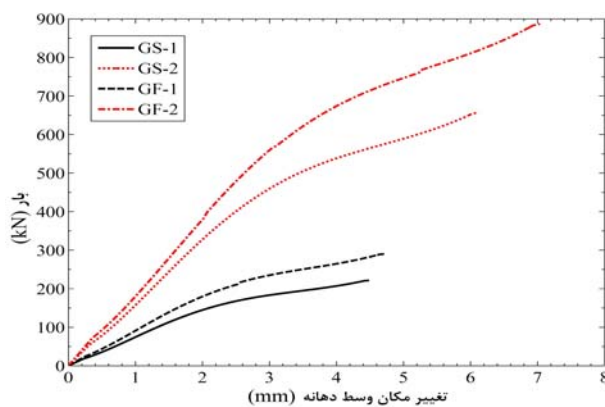
در شکل (۱۵) منحنی‌های بار - تغییر مکان مدل المان محدود و آزمایشگاهی تا نقطه‌ی بار ماکزیمم تحمل شده نشان داده شده است. مطابق شکل (۱۵) برای نمونه‌ی دارای خاموت فلزی (BSV) و مدل دارای خاموت FRP (BFV) انطباق خوبی بین مدل المان محدود و مدل آزمایشگاهی تا نقطه‌ی بار ماکزیمم وجود دارد. مطابق نمودار بار حداکثر در مدل المان محدود تیر (BSV) نسبت به مدل آزمایشگاهی ۱۲ درصد و مدل المان محدود نمونه‌ی (BFV) نسبت به مدل آزمایشگاهی ۸ درصد اختلاف مشاهده می‌شود. اختلاف بین مقادیر المان محدود و آزمایشگاهی ناشی از عواملی نظیر کمتر بودن درجات آزادی مدل المان محدود نسبت به مدل آزمایشگاهی و ماهیت سخت‌تر بودن مدل المان محدود می‌باشد.

به ترتیب مساحت آرماتورهای کششی و فشاری است و A_{vf} ، A_{vs} به ترتیب مجموع مساحت ساقهای خاموت‌های فلزی و FRP، S فاصلهٔ خاموت‌ها و L طول دهانهٔ خالص تیر می‌باشد. مطابق با آنالیز صورت گرفته بر روی مدل‌های المان محدود دو گروه، منحنی بار تغییر مکان مطابق شکل (۱۶) حاصل گردید. مطابق با این منحنی‌ها ملاحظه می‌گردد که گروه دوم که دارای خاموت FRP ظرفیت بالاتری نسبت به مدل‌های دارای خاموت فلزی دارند. افزایش ظرفیت در نمونه‌ی (GF-1) نسبت به نمونه‌ی (GS-1) به میزان ۳۱ درصد و در نمونه‌ی (GF-2) نسبت به نمونه‌ی (GS-2) این افزایش ظرفیت به میزان ۳۵ درصد بوده است. با توجه به این که گروه دوم ابعاد بزرگ‌تری نسبت به گروه اول دارد، دارای ظرفیت برابری بالاتری نسبت به گروه اول می‌باشد. الگوی ترک‌خوردگی دو گروه مشابه یکدیگر است. در شکل (۱۷) الگوی ترک‌خوردگی تیر (GS-2) به عنوان نمونه مشاهده می‌گردد.

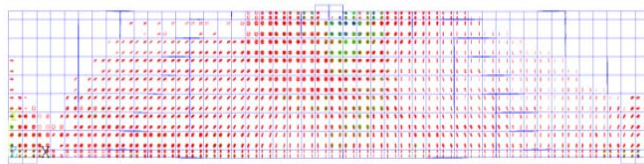
به منظور بررسی اثر جایگزینی خاموت‌های دست‌ساز FRP در تیرهای بتن مسلح، دو نوع تیر بتنی (GS) (دارای خاموت فلزی) و (GF) (دارای خاموت FRP) با ابعاد و ظرفیت برشی متفاوت مدل‌سازی گردید. هر گروه شامل دو تیر می‌باشد که مطابق روابط ارائه شده در آیینه‌نامه‌ی ACI-440-1R و روابط آیینه‌نامه‌ی ACI-318-05 طوری طراحی شدند که برش تحمل شده شده توسط خاموت‌های تیر (GS) با برش تحمل شده به‌وسیله‌ی تیر (GF)، دارای ظرفیت برشی یکسانی باشند لذا در هر گروه از خاموت‌های FRP معادل با خاموت فلزی استفاده شده است. بتن تمامی نمونه‌ها، مشابه نمونه‌های آزمایشگاهی، دارای مقاومت فشاری ۳۸ MPa می‌باشد و مشخصات میلگرد‌ها و خاموت‌های فلزی و FRP نیز همانند نمونه‌های آزمایشگاهی در نظر گرفته شده است. آرماتورهای طولی دو گروه به‌ نحوی انتخاب گردیده‌اند که اندام تیرها به صورت برشی باشد. ابعاد و آرماتور‌گذاری تیرها در جدول (۷) نشان داده شده است. در این جدول h ارتفاع مقطع، b عرض مقطع، A_s و A'_s

جدول ۷ مشخصات و ابعاد و چیزی آرماتورهای طولی و عرضی مدل المان محدود

شماره گروه	نام نمونه	$h \times b$ (mm)	A_s	A'_s	A_{vs} (mm ²)	A_{vf} (mm ²)	S (mm)	L (mm)
۱	GS-1	۳۰۰x۲۰۰	3φ20	2φ12	۵۷۶	--	۱۲۵	۱۳۵۰
	GF-1	۳۰۰x۲۰۰	3φ20	2φ12	--	۱۵۷	۱۲۵	۱۳۵۰
۲	GS-2	۴۵۰x۳۵۰	5φ25	3φ14	۲۲۶	--	۲۰۰	۲۱۰۰
	GF-2	۴۵۰x۳۵۰	5φ25	3φ14	--	۶۲۵	۲۰۰	۲۱۰۰



شکل ۱۶ منحنی بار-تغییر مکان نمونه‌های المان محدود



شکل ۱۷ الگوی ترک خوردگی تیر-۱

در صورتی که با توجه به آزمایش‌ها و تحلیل‌های انجام گرفته، مشخص گردید که کرنش در الیاف FRP می‌تواند به حدود ۸٪ نیز برسد. به دلیل تحمل کرنش بیشتر، نمونه‌های دارای خاموت FRP، ۴۱٪ و ۳۷٪ درصد اضافه مقاومت نسبت به نمونه مرجع داشتند. این مقدار کرنش دو برابر کرنش مجاز ارائه شده در آیین‌نامه ACI-440 می‌باشد. مطابق با آنالیز انجام شده به روش المان محدود تیرهای دارای خاموت FRP که مطابق با ضوابط آیین‌نامه‌ای معادل خاموت فلزی می‌باشند، دارای ظرفیت برشی بالاتری نسبت به تیرهای دارای خاموت فلزی بودند. این افزایش ظرفیت تیرهای دارای خاموت FRP ناشی از قابلیت تحمل کرنشی پیش از مقادیر تعیین شده توسط آیین‌نامه می‌باشد. مدل‌های المان محدود نمونه‌های دارای خاموت دست‌ساز FRP، اضافه ظرفیتی به مقدار ۳۱٪ و ۳۵٪ درصد نسبت به مدل‌های دارای خاموت فلزی از خود نشان دادند. نتایج حاصل از آنالیز مدل‌های المان محدود مشابه نتایج بدست آمده از آزمایش‌ها می‌باشد.

تقدیر و تشکر

کار تحقیقاتی موجود با حمایت مالی معاونت پژوهشی دانشگاه سمنان انجام شد که از آنان و همه‌ی کارشناسان آزمایشگاه سازه‌ی دانشگاه سمنان و آقای مهندس محمد بخشایی برای کمک در انجام آزمایش‌های متعدد تشکر و قدردانی می‌گردد.

با توجه به نتایج حاصل از تست‌های آزمایشگاهی و نتایج حاصل از آنالیز المان محدود تیرهای مشخص گردید که رابطه‌ی ارائه شده توسط آیین‌نامه ACI-440 به صورت محافظه‌کارانه‌ای مقدار برش تحمل شده توسط خاموت‌های FRP را تا حدود نصف مقدار واقعی به دست می‌دهد. لذا به منظور محاسبه‌ی مقدار برش اسمی تحمل شده به وسیله‌ی خاموت‌های FRP پیشنهاد می‌گردد که از رابطه‌ی زیر استفاده گردد که در آن به جای کرنش ۴٪ از کرنش ۸٪ استفاده شده است.

$$V_f = \frac{A_{vf}(0.008E_f) d_f}{S_f} (\sin \alpha_f + \cos \alpha_f) \quad (7)$$

نتیجه‌گیری

مطالعه‌ی حاضر نشان داد که استفاده از خاموت‌های دست‌ساز ساخته شده از الیاف FRP به جای خاموت‌های فلزی در تیرهای بتن مسلح امکان‌پذیر است و در صورت جایگزینی این خاموت‌ها به جای خاموت‌های فلزی، برش وارد به نحو مطلوبی توسط خاموت‌های ساخته شده از الیاف FRP تحمل می‌شود. کرنش‌ها در خاموت‌های دست‌ساز FRP تا مقدار ۸٪ نیز در دستگاه‌های ثبت اطلاعات، ثبت شد که این امر نشان دهنده‌ی ظرفیت بالای الیاف FRP در تحمل کرنش‌های بالا می‌باشد. روابط موجود آیین‌نامه‌ای در مورد استفاده از الیاف FRP در سازه‌های بتونی، کرنش لازم برای طراحی را ۴٪ درصد می‌دانند

مراجع

1. Fukuyama, H. and Masuda, Y. "Structural Performances of Concrete Frame Reinforced with FRP Reinforcement," Non-metallic (FRP) Reinforcement for Concrete Structures. Edited by Taerwe. E&FN Spon, London, p.275-286, (1995).
2. Sharbatdar, M. K., "Concrete Columns and Beams Reinforced with FRP Bars and Grids under Monotonic and Reversed Cyclic Loading", Ph.D. Thesis, University of Ottawa, Ottawa, Canada, (2003).
3. M. K. Sharbatdar and M. Saatcioglu, "Behavior of FRP reinforced concrete under simulated seismic loading", *13th World Conference on Earthquake Engineering*, Vancouver, B.C., Canada, (2004).
4. M. K. Sharbatdar and M. Saatcioglu, B.Benmokrane, "Seismic Flexural Behaviour of Concrete Connections Reinforced with CFRP Bars & Grids", *Journal of composite structures*, Vol 93, Issue 10, September 2011, Page 2439-2449, (2011).
5. ACI Committee 440, "Guide for the Design and Construction of Concrete Reinforced with FRP Bars", ACI440.1R-03, American Concrete Institute, USA, 41p, (2003).
6. Canadian Standards Association, S806-02. Design and Construction of Building Components with Fiber-Reinforced Polymers. CSA, Rexdale Ontario, May, (2002).
7. Japanese Society of Civil Engineers (JSCE). "Recommendation for Design and Construction of Concrete Structures Using Continuous Fiber Reinforcing Materials", Concrete Engineering Series 23.Tokyo, (1997).
8. Nanni, A., "North America design Guidelines for Concrete Reinforcement and Strengthening Using FRP: Principles, Applications, and Unresolved Issues", FRP Composites in Civil Engineering, Vol 1, *Conference proceeding*, Hong Kong, (2001).
9. Iranian code of practice for seismic resistant design of buildings. Standard no. 2800. 3rd edition. Building and Housing Research Center, (2004).
10. ACI Committee 318. Building code requirements for reinforced concrete (ACI 318-95) and commentary (ACI 318R-95), American Concrete Institute, Detroit, Michigan, (1989).
11. ACI Committee 318. Building code requirements for structural concrete (ACI 318-05) and commentary (ACI 318R-05), Farmington Hills (MI): American Concrete Institute, (2005).
12. CSA Standard A23.3.04, "Design of Concrete Structures", CPCA, Ontario, (2005).
13. ANSYS standard user's manual, version 11.